

pcDNA3.1⁺-HIF-1琢载体的构建和初步表达鉴定

傅锐斌¹袁平生¹袁戴铁英¹袁赖文岩¹袁邵建²渊第一军医大学南方医院心内科袁广东 广州 510515曰广州军区广州总医院心内科袁广东 广州 510010冤

摘要目的 克隆和构建带人低氧诱导因子 -1琢HIF-1琢基因真核表达载体 pcDNA3.1⁺-HIF-1琢方法 以大肠癌细胞株 HT29 的总 RNA 为模板袁进行逆转录 - 聚合酶链反应濂T-PCR袁获得 HIF-1琢的 cDNA袁克隆入 T 载体袁测序证实后克隆入真核表达载体 pcDNA3.1⁺袁酶切鉴定重组子遥将构建好的 pcDNA3.1⁺-HIF-1琢用脂质体法转入 HEK293 细胞袁 RT-PCR 鉴定重组质粒的表达遥结果 扩增出 HIF-1琢cDNA 全长袁测序结果与 Genbank 记载完全一致袁成功克隆入真核表达载体 pcDNA3.1⁺建立了稳定的细胞株 HEK293/pcDNA3.1⁺-HIF-1琢结论 成功克隆和构建带人 HIF-1琢基因真核表达载体 pcDNA3.1⁺-HIF-1琢并证明其能在真核细胞内表达遥

关键词低氧诱导因子曰逆转录 - 聚合酶链反应曰克隆, 分子曰真核表达载体曰质粒曰转染

中图分类号R392.12; R394.2 文献标识码袁 文章编号院000-2588(2003)11-1134-03

Construction and expression analysis of recombinant vector pcDNA3.1⁺-HIF-1琢

FU Rui-bin¹, WU Ping-sheng¹, DAI Tie-ying¹, LAI Wen-yan¹, QIU Jian²

¹Department of Cardiology, Nanfang Hospital, First Military Medical University, Guangzhou 510515, China;

²Department of Cardiology, Guangzhou General Hospital of Guangzhou Command, Guangzhou 510010, China

Abstract: Objective To construct the eukaryotic expression vector for human hypoxia-inducible factor-1琢HIF-1琢 gene and examine its expression. Methods Reverse transcriptase-polymerase chain reaction (RT-PCR) was performed on the total RNA extracted from HT29 cells to obtain the cDNA of HIF-1琢 which was inserted into T vector pUC18. DNA sequencing was performed before the amplified products were cloned into the eukaryotic expression vector pcDNA3.1⁺ identified by endonuclease digestion. This recombinant vector was transfected into HEK293 cells by means of liposome and its expression examined. Results The amplified products were confirmed as the cDNA of HIF-1琢by DNA sequencing, and pcDNA3.1⁺-HIF-1琢obtained was verified by endonuclease digestion, being capable of expression in HEK293 cells. Conclusion We have successfully constructed the eukaryotic expression vector for HIF-1琢 which can be expressed in HEK293 cells.

Key words: hypoxia-inducible factor; reverse transcriptase-polymerase chain reaction; cloning, molecular; eukaryotic expression vector; plasmids; transfection

低氧诱导因子 -1渊HIF-1冤在调节机体或细胞对缺氧的反应中起关键作用¹⁻⁶袁HIF-1 是一种转录激活因子袁由 HIF-1琢和 HIF-1苗两种亚基组成⁷⁻⁹袁它通过结合下游基因的低氧反应元件使下游基因的表达增加袁而调节细胞和机体功能遥HIF-1 的下游基因包括促血管新生基因¹⁰⁻¹²袁促血细胞生成基因¹³袁能量代谢基因¹⁴袁和促细胞增殖凋亡基因等¹⁵⁻¹⁷袁低氧浓度是调节 HIF-1琢功能的重要因素遥在正常氧的条件下袁HIF-1琢亚基容易被蛋白酶降解袁而 苗亚基则比较稳定¹⁸⁻²⁰袁缺氧时袁HIF-1琢的稳定性和活性大大增加²¹⁻²³袁本实验构建了 pcDNA3.1⁺-HIF-1琢重组载体并将其转到 HEK293 细胞内袁建立了 HEK293/pcDNA3.1⁺-HIF-1琢细胞株遥

收稿日期院003-04-23

基金项目院国家自然科学基金 渊9870812冤²⁴袁广东省自然科学基金 渊80235冤

Supported by National Natural Science Foundation 渊9870812冤 of China

and by Natural Science Foundation of Guangdong Province 渊80235冤

作者简介傅锐斌渊974-冤男袁福建诏安人袁第一军医大学在读硕士研究生袁主治医师袁电话院20-85141504袁-mail: furb7@sohu.com

1 材料和方法

1.1 细胞株²⁵、菌株和质粒

HEK293 细胞由本室陈哲明医生提供袁大肠癌细胞株 HT29 由消化科崔海宏医生提供袁大肠杆菌 JM109 和 DH-5琢及质粒 pcDNA3.1⁺由本室周忠江博士惠赠袁 载体 pUC18 购自美国 Stratagene 公司遥

1.2 酶和试剂

胎牛血清为杭州四季青产品袁DMEM 和 RPMI 1640 购自美国 Gibco 公司袁胰酶购自上海生工生物有限公司遥总 RNA 提取试剂 TRIZOL²⁶袁ipofectin 和 G418 购自美国 Invitrogen 公司遥A RT-PCR 试剂盒袁限制性内切酶 Sma玉²⁷袁BamH玉以及 T4 连接酶购自大连宝生物公司遥胶回收和质粒提取试剂盒购自德国 QIAGEN 公司遥

1.3 引物设计与合成

从 Genbank 检索出 HIF-1琢DNA 序列设计引物²⁸袁HIF-1琢DNA 片段上游引物 P1院'GAAACCA CCTATGACCTGC 3'袁下游引物 P2院'GTCGTGCTG

AATAATACCACTC 3' 金长上游引物 P3 遥 TATAG
GTACCAGGGAGGGCGCCGCG3' 袁下游引物 P4 遥
GCGCGGATCCTCAGTTAAC TT GATCCAA 3' 遥下划线处分别是 Kpn 玉和 BamH 玉酶切位点遥内参照
茁 actin 上游引物 P5 遥 AGCGGGAAATCGTGC GT
GACA3' 袁下游引物 P6 遥 GTGGACTTG GGAGAGGA
CTGG 3' 遥

1.4 总 RNA 的提取和 RT-PCR 法获取 HIF-1 痕基因

采用 TRIZOL 试剂袁按照说明书的方法从 1 伊⁶个大肠癌细胞 HT29 中提取总 RNA袁琼脂糖电泳鉴定总 RNA 有无降解遥然后以引物 P3 和 P4 用 RT-PCR 方法扩增 HIF-1 痕基因全长袁4 益变性 30 s 袁5 益退火 30 s 袁2 益延伸 4 min 袁循环 25 次袁末次循环后 72 益再延长 5 min 遥参照 LA RT-PCR 试剂盒说明书遥

1.5 T 载体的制备及 TA 克隆

pUC18 用 Sma 玉酶切袁.8% 琼脂糖凝胶电泳袁取线性片段袁胶回收纯化试剂盒纯化遥在 50 滴反应体系中袁含 dTTP 2 滴 mol/L 袁 ap DNA 多聚酶 2.5 U 袁线性质粒模板 1 滴袁2 益 3 h 袁电泳袁胶回收纯化遥 20 滴的连接反应体系中分别加入 10 伊连接 Buffer 2 滴袁纯化的 PCR 产物 10 滴袁 载体 5 滴袁4 DNA 连接酶 2 U 袁 12~16 益 16 h 遥连接产物转化 JM109 菌株袁酶切袁克隆袁阳性重组子鉴定的具体方法见参考文献咱遥

1.6 DNA 序列测定

由大连宝生物公司完成遥采用双脱氧链末端中止法袁人 DNA 全自动测序仪测定核苷酸序列袁同一片段经正反两个方向重复测定遥

1.7 pcDNA3.1⁺-HIF-1 痕真核表达载体的构建及鉴定

pUC18-HIF-1 痕质粒经 Kpn 玉和 BamH 玉双酶切袁获得 HIF-1 痕 DNA 全长袁插入到 pcDNA3.1⁺ 的 Kpn 玉和 BamH 玉位点袁获得重组质粒 pcDNA3.1⁺-HIF-1 痕酶切鉴定得到含 HIF-1 痕的表达载体 pcDNA3.1⁺-HIF-1 痕酶切袁克隆袁阳性重组子鉴定的具体方法见参考文献咱遥

1.8 基因转染

在 6 孔培养板的每一孔内接种 1.5 ml 含 6 伊⁵个细胞的培养液袁7 益 5% CO₂ 温箱培养约 24 h 袁至 80%~90% 汇合时袁用无血清 DMEM 培养基漂洗细胞 2 次遥每孔加入 Lipofectin-pcDNA3.1⁺-HIF-1 痕复合液 2 ml 遥每孔的转染液中含 2 滴 DNA 和 10 滴 Lipofectin 袁转染时间 5 h 遥吸除无血清转染液袁换入含 10% 胎牛血清培养液继续培养 48 h 袁然后按 1 颗的比例传代遥用含 800 mg/ml G418 的培养液进行筛选遥当未进行转染的细胞大部分死亡时袁~5 d 袁再更换 1 次培养液遥 14 d 左右未进行转染的细胞均死亡袁转染的细胞孔内有抗性的克隆团出现袁其增大后再转入另

瓶增殖袁传代袁种遥

1.9 RT-PCR 法检测重组质粒表达

用含 10% 胎牛血清的 DMEM 培养基将细胞培养至 80% 的密度袁 RIZOL 试剂提取总 RNA袁取 1 滴作 RT-PCR 遥引物用 HIF-1 痕 cDNA 片段引物 P1 袁 P2 和内参照 茁 actin 引物 P5 袁6 遥热循环条件是院 4 益变性 30 s 袁4 益退火 30 s 袁2 益延伸 1 min 袁循环 25 次遥反应结束后取 3 滴 反应产物行琼脂糖凝胶电泳遥

2 结果

2.1 HIF-1 痕 cDNA 的扩增袁克隆及鉴定

通过 RT-PCR 方法从 HT29 细胞株的总 RNA 扩增出一条 2 500 bp 左右的 DNA 片段袁图 1 袁将其与 pUC18 T 载体连接袁转化 JM109 遥扩增袁出质粒进行 DNA 测序袁所得序列与 Genbank 记载的 HIF-1 痕 cDNA 序列完全一致遥

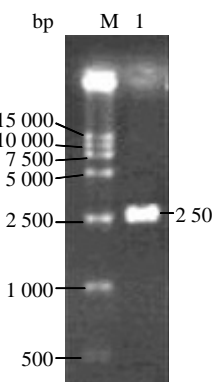


图 1 RT-PCR 扩增产物的鉴定

Fig.1 Analysis of RT-PCR amplification product

M: Marker (DNA Marker DL15000);
Lane 1: RT-PCR product

2.2 重组真核表达质粒 pcDNA3.1⁺-HIF-1 痕的鉴定

用 Kpn 玉和 BamH 玉分别单酶切重组质粒袁得到线性质粒 8 kb 袁与重组质粒大小一致袁用这两个酶双酶切袁得到线性质粒和 HIF-1 痕片段袁大小为 5.4 和 2.5 kb 袁与空质粒和 HIF-1 痕 cDNA 大小一致袁图 2 袁

2.3 RT-PCR 检测重组质粒表达

用 RT-PCR 方法扩增细胞中的 HIF-1 痕和 茁 actin 片段袁电泳结果袁图 3 袁可见 HEK293/pcDNA3.1⁺-HIF-1 痕细胞组 HIF-1 痕条带比对照组的 D(袁值)和相对 D(袁值)明显大于对照组细胞袁说明所构建载体能在转染细胞中转录遥

3 讨论

评价 HIF-1 痕的功能袁首先须将 HIF-1 痕的基因编码区全长克隆到合适的载体上遥我们采用 RT-PCR 方法袁用高保真的 LA Taq 酶将基因的全长扩出袁然后用 TA 克隆的方法袁成功将基因的 cDNA 克隆到 T 载体 pUC18 上袁测序证实后用双酶切法又将其克隆到真核表达载体 pcDNA3.1⁺袁并转染到 HEK293 细胞

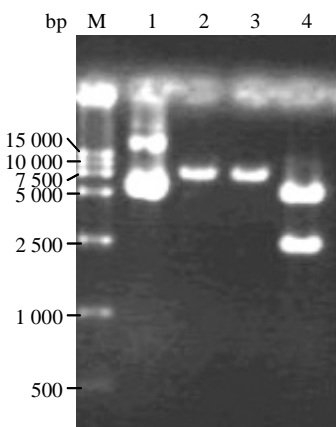


图 2 重组表达载体 pcDNA3.1⁺-HIF-1_α的鉴定
Fig.2 Identification of the recombinant expression plasmid pcDNA3.1⁺-HIF-1_α

M: Marker; Lane 1: pcDNA3.1⁺-HIF-1_α; Lane 2: pcDNA3.1⁺-HIF-1_αKpnI; Lane 3: pcDNA3.1⁺-HIF-1_αBamH; Lane 4: pcDNA3.1⁺-HIF-1_αKpnI+BamH

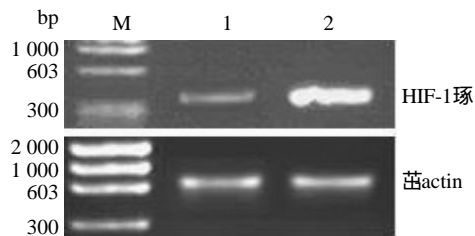


图 3 RT-PCR 扩增 HEK293/pcDNA3.1⁺-HIF-1_α细胞中 HIF-1_α基因片段
Fig.3 Fragment of HIF-1_αcDNA amplified by RT-PCR

M: Marker (DNA marker DL2000); Lane 1: HEK293; Lane 2: HEK293/pcDNA3.1⁺-HIF-1_α

内构建了 HEK293/pcDNA3.1⁺-HIF-1_α细胞株。遥心肌缺血时 HIF-1_α和血管内皮生长因子VEGF表达增加，遥 VEGF 是 HIF-1_α的下游基因。Drake 报告，遥 VEGF 单独刺激下，遥 血管网密度增加，遥 新生的血管出现通透性增加和畸形。遙 Olson 等证实了 HIF-1_α可诱导小鼠生成具有生理功能的新血管。遥 已经发现，遥 多种细胞因子或药物，如 TNF-α、IL-1_β、胰岛素、生长因子-1 和血管紧张素Ⅱ等能够促进 HIF-1_α在体内外的表达或转录激活功能。遙 研究显示，遥 通过用巨核细胞来源的多肽 PR39 可以抑制 HIF-1_α的降解，遥 引起心脏血管的新生。

我们成功地构建了重组载体 pcDNA3.1⁺-HIF-1_α。初步结果显示，遥 转染到 HEK293 细胞后，该载体可以在细胞内表达。遥 在血管紧张素Ⅱ的刺激下，遥 蛋白表达量比对照明显增多。至于转染该基因对细胞生长的影响，遥 VEGF、促红细胞生成素和葡萄糖分解酶类等 HIF-1_α下游基因表达的影响及能否在体内引起血管新生等问题，有待进一步研究。

参考文献院

- 1 Semenza GL. HIF-1 and human disease: one highly involved factor. *Genes Dev*, 2000, 14(16): 1983-91.
- 2 Wang GL, Jiang BH, Rue EA, et al. Hypoxia-inducible factor 1 is a basic-helix-loop-helix-PAS heterodimer regulated by cellular O₂ tension. *Proc Natl Acad Sci*, 1995, 92(6): 5510-4.
- 3 Piret J, Mottet D, Raes M, et al. Is HIF-1alpha a pro- or an anti-apoptotic protein? *Biochem Pharmacol*, 2002, 64(5-6): 889.
- 4 Iyer NV, Kotch LE, Agani F, et al. Cellular and developmental control of O₂ homeostasis by hypoxia-inducible factor 1 alpha. *Genes Dev*, 1998, 12(2): 149-62.
- 5 Bruick RK, McKnight SL. A conserved family of prolyl-4-hydroxylases that modify HIF. *Science*, 2001, 294(5545): 1337-40.
- 6 Lando D, Peet DJ, Whelan DA, et al. Asparagine hydroxylation of the HIF transactivation domain: a hypoxic switch. *Science*, 2002, 295(5556): 858-61.
- 7 Semenza GL, Rue EA, Iyer NV, et al. Assignment of the hypoxia-inducible factor 1alpha gene to a region of conserved synteny on mouse chromosome 12 and human chromosome 14q. *Genomics*, 1996, 34(3): 437-9.
- 8 Sambrook J, Fritsch EF, Maniatis T, et al. Molecular cloning. A laboratory manual. New York: Cold Spring Harbor Laboratory, 1989. 16-69.
- 9 Schultz A, Lavie L, Hochberg I, et al. Interindividual heterogeneity in the hypoxic regulation of VEGF: Significance for the development of the coronary artery collateral circulation. *Circulation*, 1999, 100(5): 547-52.
- 10 Drake CJ, Little CD. Exogenous vascular endothelial growth factor induces malformed and hyperperfused vessels during embryonic neovascularization. *Proc Natl Acad Sci USA*, 1995, 92 (17): 7657-61.
- 11 Elson DA, Thurston G, Huang LE, et al. Induction of hypervascularity without leakage or inflammation in transgenic mice overexpressing hypoxia-inducible factor-1alpha. *Genes Dev*, 2001, 15(19): 2520-32.
- 12 Scharte M, Han X, Bertges DJ, et al. Cytokines induce HIF-1 DNA binding and the expression of HIF-1-dependent genes in cultured rat enterocytes. *Am J Physiol Gastrointest Liver Physiol*, 2003, 284 (3): G373-84.
- 13 Hellwig-Burgel T, Rutkowski K, Metzen E, et al. Interleukin-1beta and tumor necrosis factor-alpha stimulate DNA binding of hypoxia-inducible factor-1. *Blood*, 1999, 94(5): 1561-7.
- 14 Treins C, Giorgianni-Peraldi S, Murdaca J, et al. Insulin stimulates hypoxia-inducible factor 1 through a phosphatidylinositol 3-kinase/target of rapamycin-dependent signaling pathway. *J Biol Chem*, 2002, 277(31): 27975-81.
- 15 Spinella F, Rosan L, Di Castro V, et al. Endothelin-1 induces vascular endothelial growth factor by increasing hypoxia-inducible factor-1 in ovarian carcinoma cells. *J Biol Chem*, 2002, 277 (31): 27850-5.
- 16 Li J, Post M, Volk R, et al. PR39, a peptide regulator of angiogenesis. *Nat Med*, 2000, 6(1): 49-55.